

京都大学・防災研究会  
鹿島建設株式会社  
正員 道上 正規  
正員 村雲 治

### 1. まえがき

分岐水路流れの特性を利用して、できるだけ多くの土砂を主水路から分岐水路へ導いて、これを貯水池に入れることが下流にバイパスする方策を検討するため、分岐水路付近の流れ特性や土砂配分の性状把握に関する実験を行つた。<sup>1)</sup> 本報告は、これらの実験結果に二、三の考察を加えたものである。

### 2. 実験の概要

使用水路は水路幅10m、全長約20mのコンクリート水路で、水路下流端から2.13mのところに水路幅10cm、分岐角度40°の分岐水路が取付けられており。平均粒径0.544mmの一粒砂を河床勾配1/400に沿うように敷きつめた移動床で実験を行つた。主水路と分岐水路の流量および流砂量が測定された。また、分岐部付近の流線は水を流れに沿わせて測定した。図-1に見られるように、流線形状は表層と底層では性状が異なり、多くの底層流線が分岐水路に入つてある。掃流砂は底面付近の流れに支配されるので、このような現象を利用すれば、流砂を効果的に分岐水路へ導入することができるであろう。

### 3. 実験結果の考察

(1) 流砂配分：こうして流れの特性に注目して、流砂配分比 $K_g$ （分岐水路流砂量/全流砂量）と流量配分比 $K$ （分岐流量/全流量）の関係を検討した室田の式<sup>2)</sup>（図中の曲線）と実験結果を比較したもののが図-2に示されているが、概略的には両者は対応している。しかし、詳細に検討すると差異が認められ、著者らの結果が $K$ の小さなところでは室田式よりも大きく、一方田中ら<sup>3)</sup>の実験値は小さ目になつてある。この一つの原因是、開口比（分岐水路幅と主水路幅との比）の相違によるものと考えられる。すなわち、本実験の開口比は0.1、室田のそれは0.35、田中らのそれは0.4とがつてあり、図-1に示して、開口比が小となり、分岐水路の掃流砂が増加するため、入口付近の砂州が消失して砂がスムーズに流下するのである。 $K \geq 0.25$ のところ、 $K_g$ に対する開口比の影響は小さくないようである。このことは、実河川の土砂導入のための分岐水路設計において注目すべき点であろう。もう一つ、要因として、 $K_g$ に対する河床粒度の効果が考えられるが、これについては後述する。

(2) 流線：水流の分岐水路への曲がりによって、表層と底層の流線のずれが生じてあるとすれば、分岐水路側と中央では水位差が生じるはずである。その例が図-3に示されており、分岐部付近で水位差が最大となり、 $K$ の増加とともに減少し、それは文理くなる。このような流れの性状は非常に複雑であるが、単純化して、横断方向の水位差が遠に力に起因するとすれば、図-4を参照して、力の釣合条件より次の関係式をうる。

$$U^2/R = g \Delta h / B_{sh} \quad \dots \dots \dots \quad (1)$$

ただし、ここでは二次流による剪断应力は考慮しない。Rは分岐流線の半径で、分岐口より離れた曲率のところでは、鉛直方向に一定と仮定することとする。これについて、Ananyan<sup>4)</sup>が解析を試みるが、主流の流速分布を考えると、他の一定値であるので、分岐流線の $B_{sh}$ が次のように書ける。

$$(1) \quad U = U_{max} \sqrt{1 - d(Z/H)^2} : \quad B_{sh} = B_0 [1 - d(Z/H)^2]^{-1} \quad \dots \dots \dots \quad (2)$$

$d = 12$ ,  $U_{max}$ : 最大流速,  $d$ : 実験定数 ( $d=0.5$ )

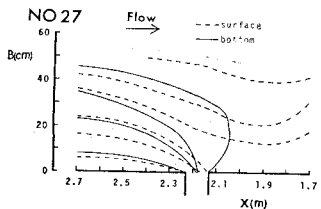


図-1 流線 ( $Q_T = 4.45$ ,  $K = 0.35$ )

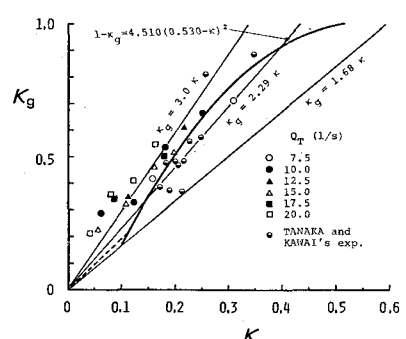


図-2 流砂配分比と流量配分比の関係

ii)  $U/U_* = 8.5 + 5.75 \log_{10}(H-Z)/k_s$  :  $B_{zH}/B_0 = [1 + \{5.75 \log_{10}(1 - \frac{Z}{H})\} / \{2.5 + (U_m/U_*)\}]^2$  ----- (3)

$= 1$ ,  $U_*$ : 摩擦速度,  $k_s$ : 相当粗度,  $U_m$ : 断面平均流速を表す。図-5(a)および(b)は、それぞれ(2)および(3)式の計算曲線と実験値を比較したもので、計算に際しては、流連係数  $\varphi$  ( $\varphi = U_m/U_*$ ) を 1.0,  $B_0$  として水面より実験値を用いた。 (2)式よりも(3)式の方が適合性が良くなるのであるが、(3)式では底面まで  $B_{zH}$  を計算するにはどうぞ。

(3) 分離流線巾比と流砂配分比: 底面の分離流線巾比と  $K_g$  が等しいと仮定すれば、 $K_{0.6}/K_1$  と  $K/K_g$  との間に次の等式が成立する。

$$K_{0.6}/K_1 = K/K_g \quad \dots \dots \dots \quad (4)$$

(4)式に(2)式および(3)式を適用すると、次の関係となる。

i) (2)式を用いる場合:  $K_g = 1.64 K \quad \dots \dots \dots \quad (5)$

ii) (3)式を用いる場合:  $\varphi = 8; K_g = 3K, \varphi = 10; K_g = 2.29K \quad \dots \dots \dots \quad (6)$   
 $\varphi = 15; K_g = 1.68K$

たゞし、(3)式を用いる場合、底面の分離流線巾が求まらないので、 $Z/H = 0.9$  の値を代入してある。因6は固定床の流線計測の実験値を再整理したものであるが、(6)式の  $\varphi = 15$  を用いて  $K_g = 1.68K$  および(5)式とよく対応している。一方、図-2に(6)式の関係を示してあるが、本実験では  $\varphi = 10 \sim 12$  で前述の固定床実験よりも河床粗度が大きくなっているのに、同一の  $K$  に対する  $K_g$  が大きくなっていると想定される。

(4) 水制を設置した場合: 分岐水路の岸壁に、水制長 40cm の非越流水制を設置して、流量を一定にし、その位置を順次変えて  $K_g$  を図-7 に示す。  $K_g$  は水制が分岐口の直下流にあたるところ最大になる。水制を設置しない場合の  $K_g$  値を記入されていないが、こうして水制によって効率的に砂を挿入することによってこうである。

#### 4. あとがき

$K_g - K$  の関係は、概略的には室田の実験式で説明されるが、こうに詳細に検討すると、 $K_g$  は  $K$  の逆に、開口比や河床粗度の効果が関係している。今後より配水路にあたってこうして効率を検討したい。

最後に、有益な御助言をいただき京都大学土木系准教授に謝意を表します。  
 <参考文献> 1) 並上・村瀬: 土木年譲, 第 52.

2) 室田: 土木学会論文集, 70 号, 第 25.

3) 田中・川合: 年譲, 第 50, 第 51.

4) Ananyan, A.K.: "Fluid Flow in Bends of Channel", 1965.

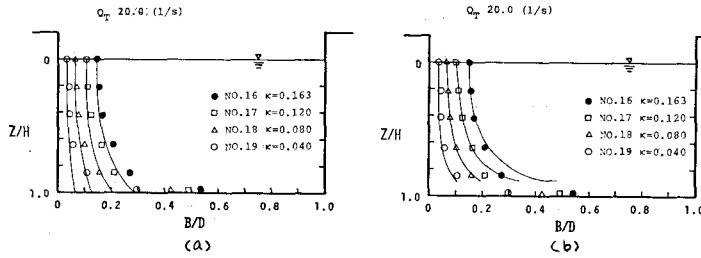


図-5 分離流線巾の計算値と実験値の比較

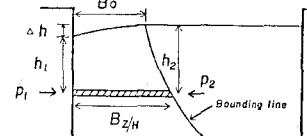


図-4 記号説明図

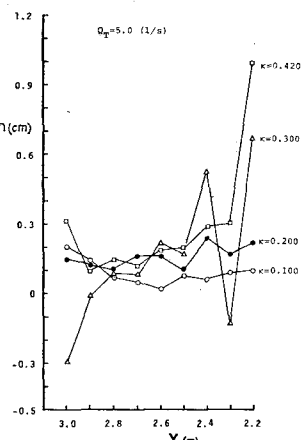


図-3 水位差の場所的変化

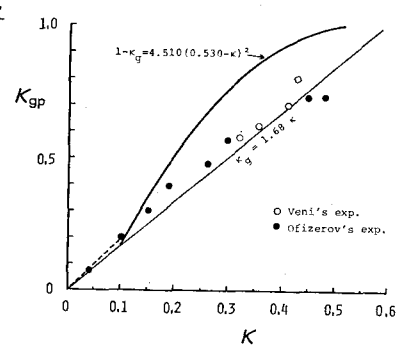


図-4 底面流線巾比と流量配分比の関係

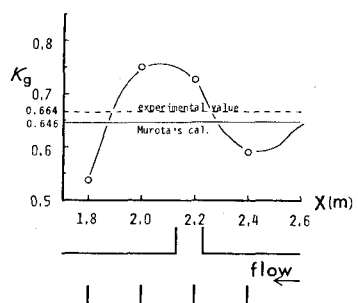


図-7 水制を設置した場合 ( $Q_T = 10 l/s, k = 0.25$ )